**Zeitschrift:** Contributions to Natural History: Scientific Papers from the Natural

History Museum Bern

**Herausgeber:** Naturhistorisches Museum Bern

**Band:** - (2023)

Heft: 39

**Artikel:** Bildatlas der Rot- und Grünwidderchen des Alpenraums (Zygaenidae:

Zygaeninae, Procridinae, Chalcosiinae)

Autor: Guenin, Raymond

**Kapitel:** Systematischer Teil I : Procridinae und Chalcosiinae. Kommentierte und

illustrierte Checkliste der Grünwidderchen (Procridinae) und

Chalcosiinae des Alpenraums

**DOI:** https://doi.org/10.5169/seals-1046483

#### Nutzungsbedingungen

Die ETH-Bibliothek ist die Anbieterin der digitalisierten Zeitschriften auf E-Periodica. Sie besitzt keine Urheberrechte an den Zeitschriften und ist nicht verantwortlich für deren Inhalte. Die Rechte liegen in der Regel bei den Herausgebern beziehungsweise den externen Rechteinhabern. Das Veröffentlichen von Bildern in Print- und Online-Publikationen sowie auf Social Media-Kanälen oder Webseiten ist nur mit vorheriger Genehmigung der Rechteinhaber erlaubt. Mehr erfahren

#### **Conditions d'utilisation**

L'ETH Library est le fournisseur des revues numérisées. Elle ne détient aucun droit d'auteur sur les revues et n'est pas responsable de leur contenu. En règle générale, les droits sont détenus par les éditeurs ou les détenteurs de droits externes. La reproduction d'images dans des publications imprimées ou en ligne ainsi que sur des canaux de médias sociaux ou des sites web n'est autorisée qu'avec l'accord préalable des détenteurs des droits. En savoir plus

#### Terms of use

The ETH Library is the provider of the digitised journals. It does not own any copyrights to the journals and is not responsible for their content. The rights usually lie with the publishers or the external rights holders. Publishing images in print and online publications, as well as on social media channels or websites, is only permitted with the prior consent of the rights holders. Find out more

**Download PDF: 20.11.2025** 

ETH-Bibliothek Zürich, E-Periodica, https://www.e-periodica.ch

### Systematischer Teil I: Procridinae und Chalcosiinae

# Kommentierte und illustrierte Checkliste der Grünwidderchen (Procridinae) und Chalcosiinae des Alpenraums

In den nachfolgenden Tafeln sind die 33 abgebildet, wobei die relative Grösse nicht den tatsächlichen Verhältnissen entspricht. Auch wenn die Vorderflügellänge ein Bestimmungsmerkmal darstellt, genügt dieses keineswegs zur sicheren Artbestimmung. In den Abb. 58–63 werden zudem ein Ausschnitt des Uncus-Tegumenkomplexes, der Phallus sowie der weibliche Genitalapparat aller im Alpenraum nachgewiesenen Procridinae abgebildet.

## Unterfamilie **PROCRIDINAE** (Systematik gemäss Efetov & Tarmann 2012) Gattung *Theresimima* STRAND, 1917

Vorderflügel schmal, Hinterflügel im Vergleich dazu stark verkleinert. Fühler des  $\circlearrowleft$  bis zur Spitze mit kräftiger, zweigliedriger Kammzähnung. Fühler des  $\supsetneq$  mit schwacher, zweigliedriger Kammzähnung.

#### Theresimima ampellophaga (Bayle-Barelle, 1808)

#### Gattung *Rhagades* Wallengren, 1863

Untergattung *Rhagades* Wallengren, 1863

Habitus vergleichbar mit Arten aus der Gattung *Jordanita*. Fühler des ♂ mit zweigliedriger Kammzähnung, Fühlerende zugespitzt. Fühler des ♀ mit doppelten, kurzen, sägezahnartigen Fortsätzen. *R. pruni* besitzt einen gelblichen Rüssel (Proboscis), der ca. 2 mm lang ist.

#### Rhaqades (Rhaqades) pruni ([Denis & Schiffermüller], 1775)

#### Gattung Adscita Retzius, 1783

Untergattung *Adscita* Retzius, 1783

Kopf, Thorax, Vorderflügeloberseite und Abdomen (bei frischen Tieren) grün bis blau glänzend. Hinterflügeloberseite graubraun. Fühler des  $\circlearrowleft$  mit zweigliedriger Kammzähnung, distal abgestumpft. Fühler des  $\circlearrowleft$  erscheinen fadenförmig, distal abgestumpft. *Adscita (Adscita) capitalis* (Staudinger, 1879) (die im Alpenraum nicht vorkommt) weist als einzige Vertreterin der Untergattung *Adscita* ein auffallendes, knopfförmiges Fühlerende auf (Abb. 262).

Adscita (Adscita) alpina (Alberti, 1937)
Adscita (Adscita) statices (Linnaeus, 1758)
Adscita (Adscita) geryon (Hübner, [1813])
Adscita (Adscita) dujardini Efetov & Tarmann, 2014

#### Untergattung *Tarmannita* Efetov, 2000

Habitus vergleichbar mit A. alpina, A. italica, A. statices, A. geryon und A. dujardini, genitalmorphologisch aber u. a. in der Gestalt des Phallus abweichend, wobei dieser distal schaufelförmig erweitert ist.

#### Adscita (Tarmannita) mannii (Lederer, 1853)

#### Gattung Jordanita VERITY, 1946

Kopf, Thorax, Abdomen und Vorderflügeloberseite grün oder blau metallisch glänzend, Hinterflügeloberseite grau. Fühler des  $\Im$  mit zweigliedriger Kammzähnung, Länge der Kammzähne distalwärts abnehmend, Fühlerende zugespitzt. Fühler des  $\Im$  erscheinen fadenförmig, weisen aber sehr kurze, sägezahnartige Fortsätze auf.

Untergattung *Roccia* Alberti, 1954 *Jordanita (Roccia) budensis* (Speyer & Speyer, 1858)

Untergattung *Tremewania* Efetov & Tarmann, 1999 *Jordanita (Tremewania) notata* (Zeller, 1847)

Untergattung *Gregorita* POVOLNY & ŠMELHAUS, 1951 *Jordanita (Gregorita) hispanica* (ALBERTI, 1937)

Untergattung *Jordanita* Verity, 1946 *Jordanita (Jordanita) graeca* (Jordan, 1907) *Jordanita (Jordanita) chloros* (Hübner, [1813]) *Jordanita (Jordanita) globulariae* (Hübner, 1793)

Untergattung *Solaniterna* EFETOV, 2004 *Jordanita (Solaniterna) subsolana* (STAUDINGER, 1862)

Unterfamilie **CHALCOSIINAE** HAMPSON, [1893] Gattung **Aglaope** LATREILLE, 1809 **Aglaope infausta** (LINNAEUS, 1767)

Die Ausbildung des distalen Fühlerendes gibt bereits einen ersten Hinweis zur Identifikation von Grünwidderchen, die sich in spitz- und stumpffühlerige Arten unterteilen lassen. Während bei den 33 die Unterscheidung in der Regel leicht fällt, erscheinen die Fühler der 99 (von blossem Auge betrachtet) fadenförmig.

Mit Ausnahme von A. capitalis weisen alle Arten der Gattung Adscita stumpfe Fühlerenden auf. Im Gegensatz dazu ist bei allen Arten der Gattung Jordanita sowie bei Rhagades pruni das distale Fühlerende deutlich zugespitzt.

Die Anzahl der Fühlerglieder ist von Art zu Art verschieden und unterliegt auch innerhalb einer Population gewissen Schwankungen, welche auch vom Habitattyp abhängig sind (Fiedler & Nässig 1985, Naumann & al. 1999; Drouet 2016a).

## Anzahl Fühlerglieder

Adscita geryon geryon (Hübner, [1813])	38–44
Adscita geryon chrysocephala (NICKERL, 1845)	30–34
Adscita geryon orientalis (Alberti, 1938)	32-42
Adscita geryon (Frankreich)	33–36
Adscita statices statices (LINNAEUS, 1758)	
Adscita statices (Trockenstandorte)	39-43
Adscita statices (Feuchtstandorte)	
Adscita statices (Frankreich)	

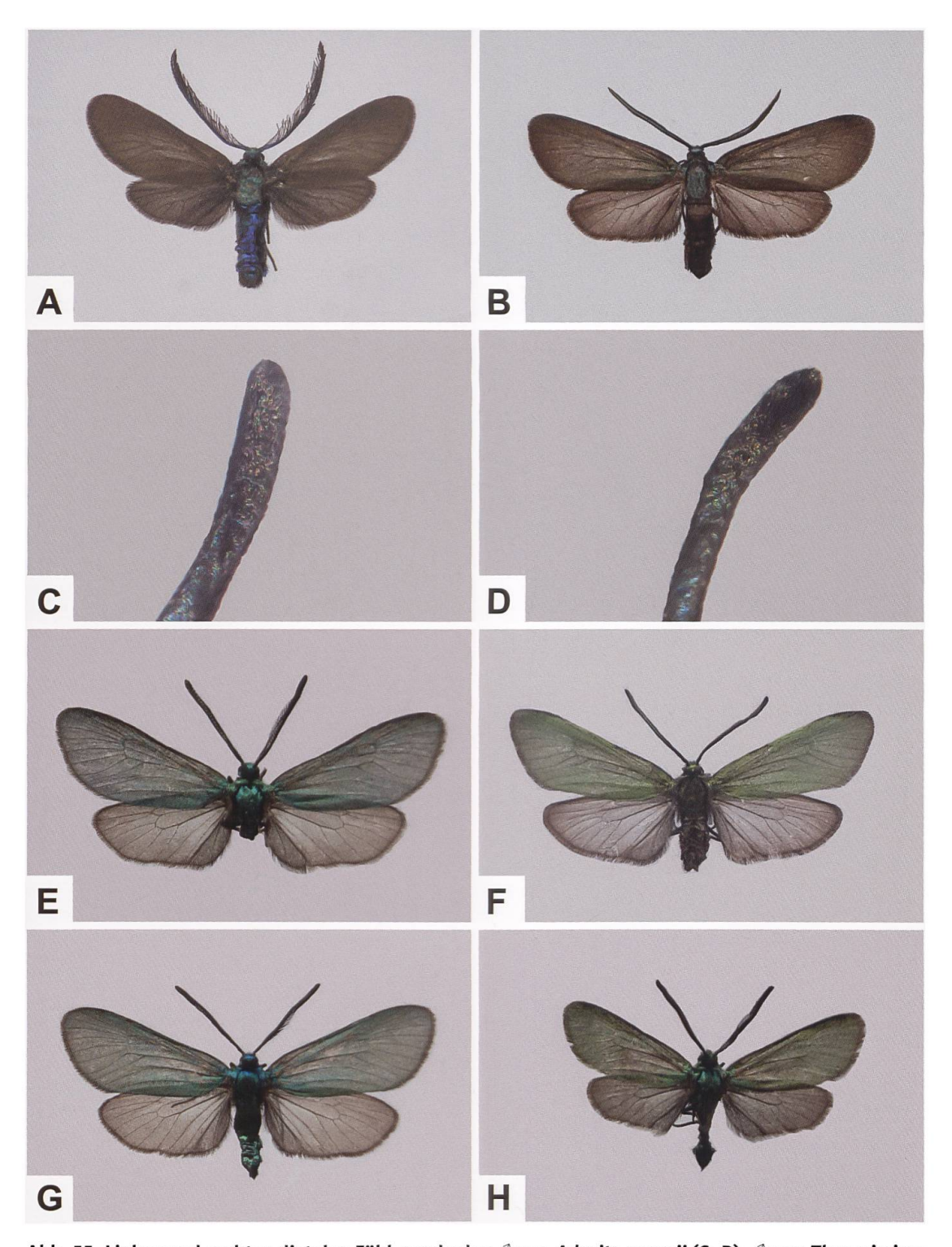


Abb. 55. Linkes und rechtes distales Fühlerende des  $\circlearrowleft$  von Adscita mannii (C, D),  $\circlearrowleft$  von Theresimima ampellophaga (A), Rhagades pruni (B) sowie  $\circlearrowleft$  der stumpffühlerigen Arten Adscita alpina (E), A. italica (F), A. statices (G) und A. geryon (H).

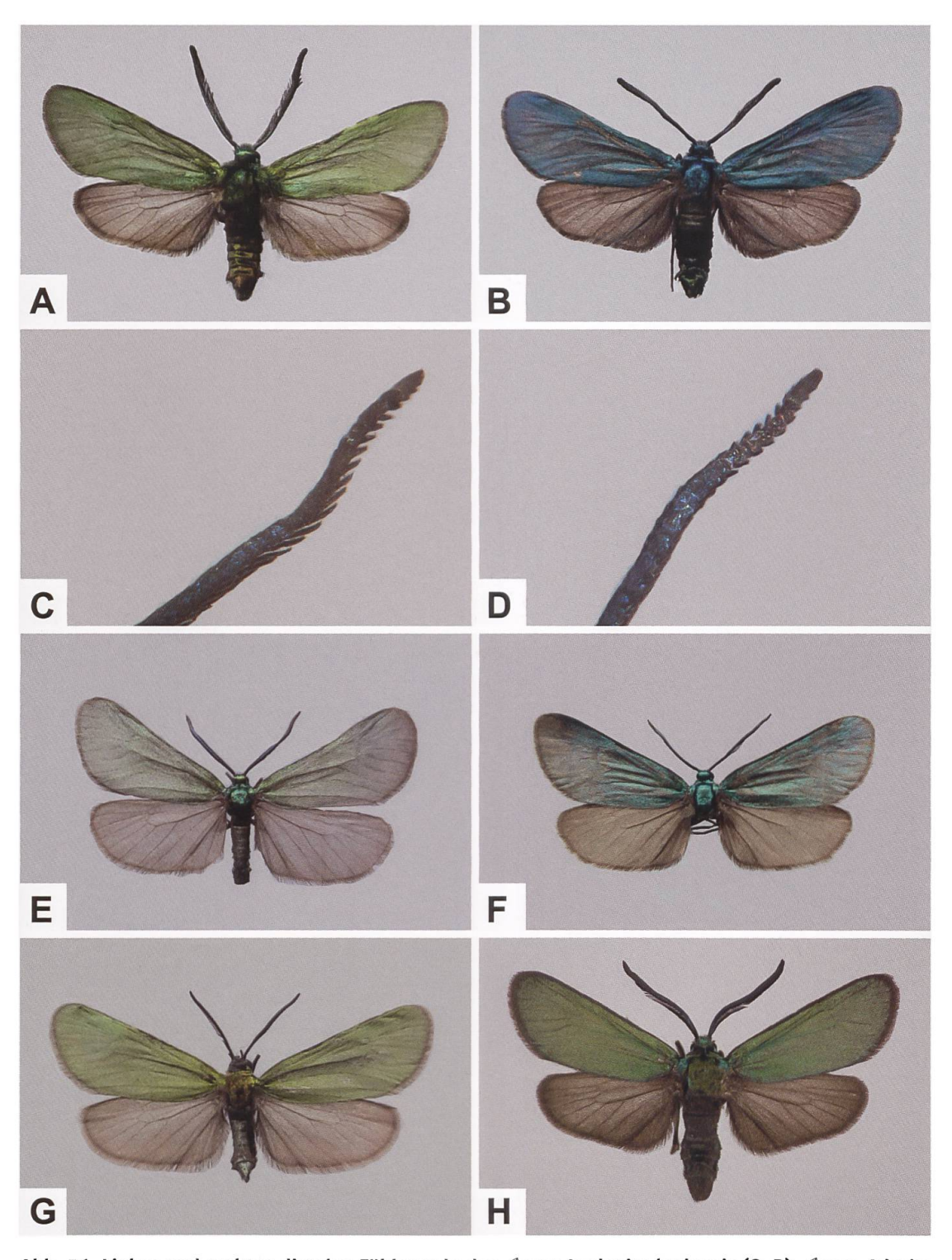


Abb. 56. Linkes und rechtes distales Fühlerende des  $\circlearrowleft$  von *Jordanita budensis* (C, D),  $\circlearrowleft$  von *Adscita dujardini* (A), *A. mannii* (B) sowie  $\circlearrowleft$  der spitzfühlerigen Arten *J. budensis* (E), *J. notata* (F), *J. hispanica* (G) und *J. graeca* (H).

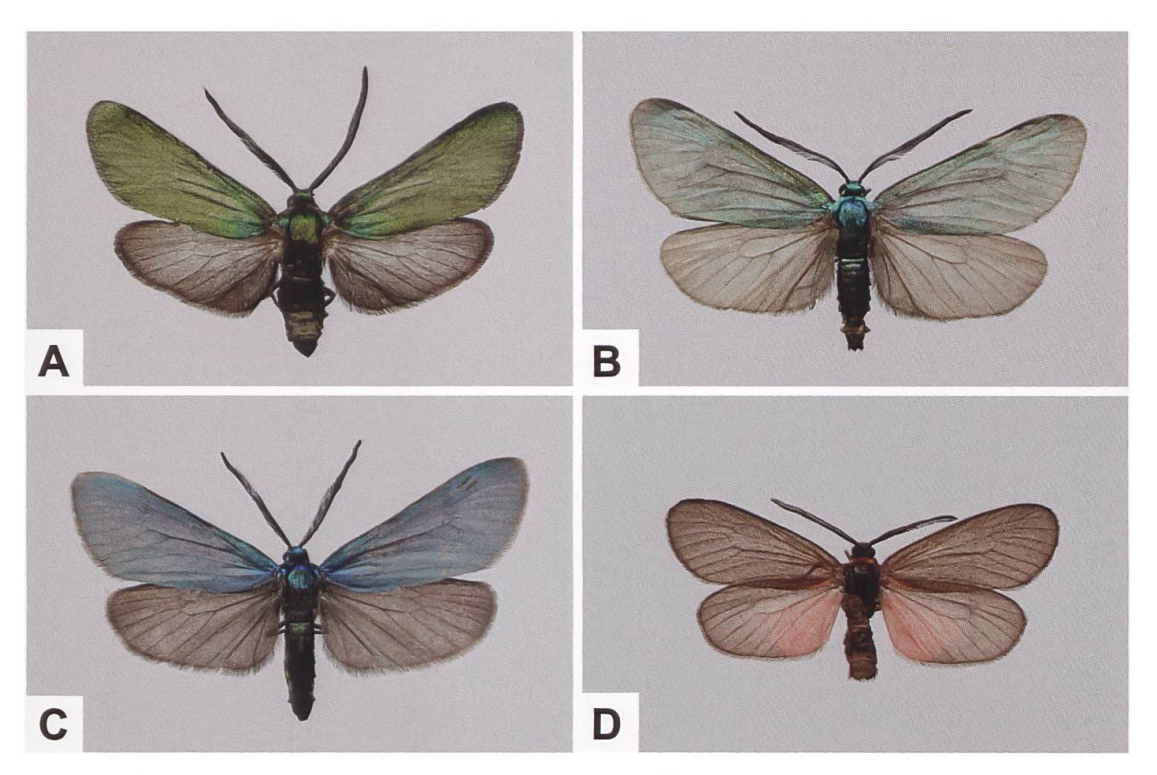


Abb. 57. ♂ der spitzfühlerigen Arten *Jordanita chloros* (A), *J. globulariae* (B) und *J. subsolana* (C) sowie ♂ von *Aglaope infausta* (D).

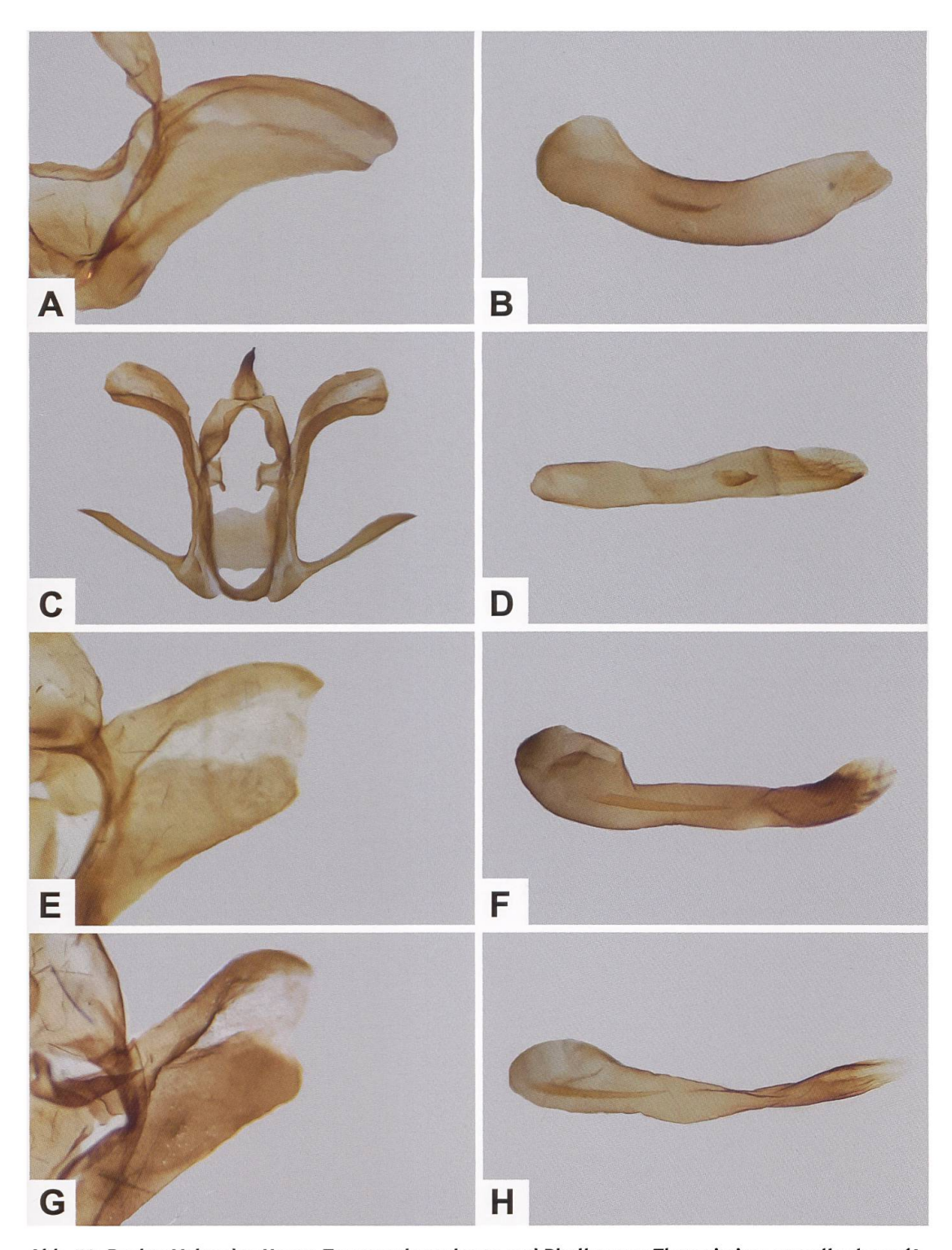


Abb. 58. Rechte Valve des Uncus-Tegumenkomplexes und Phallus von *Theresimima ampellophaga* (A, B), *Rhagades pruni* (C [Gesamtaspekt des Uncus-Tegumenkomplexes], D), *Adscita alpina* (E, F) sowie *A. italica* (G, H).

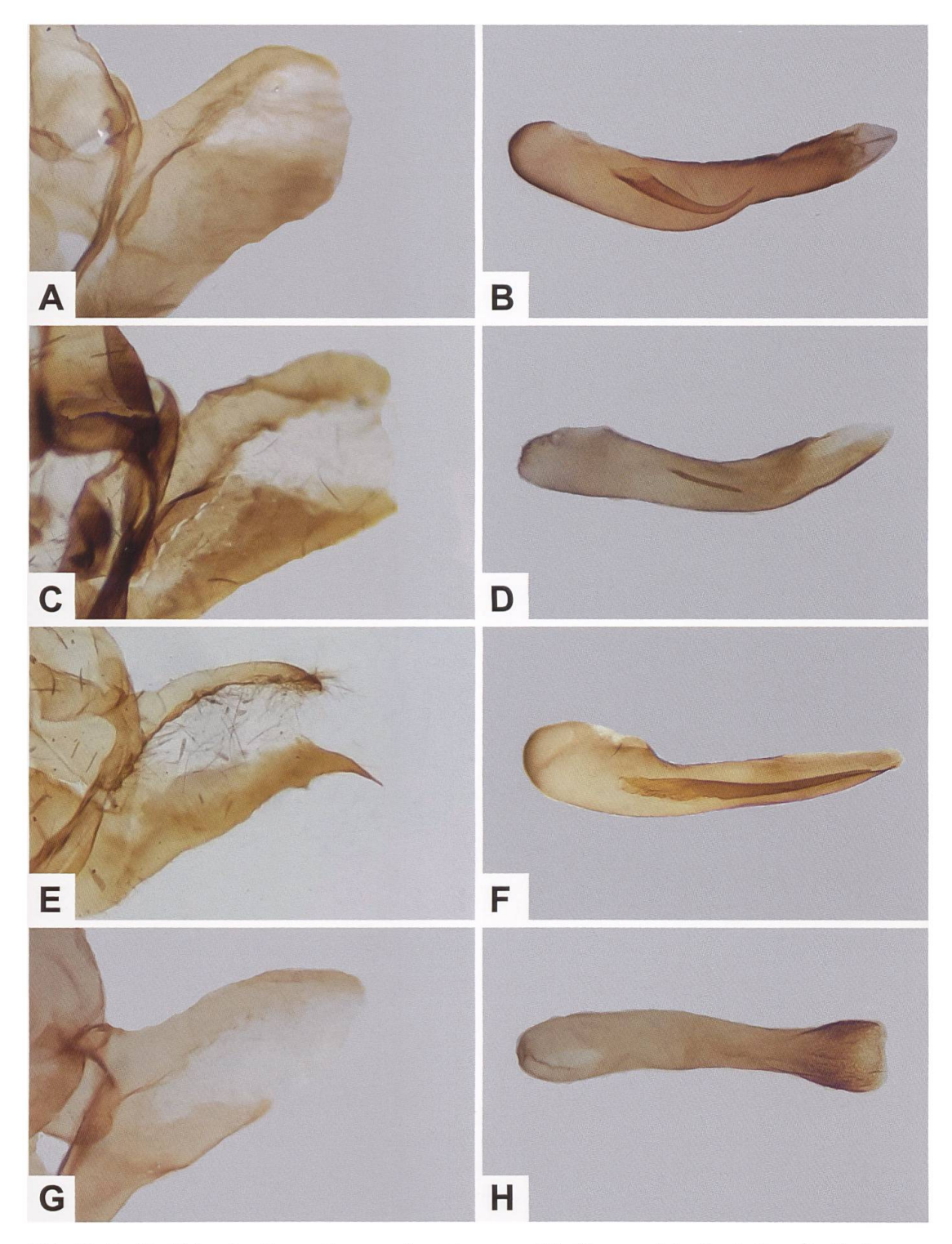


Abb. 59. Rechte Valve des Uncus-Tegumenkomplexes und Phallus von Adscita statices (A, B), A. geryon (C, D), A. dujardini (E, F) sowie A. mannii (G, H).

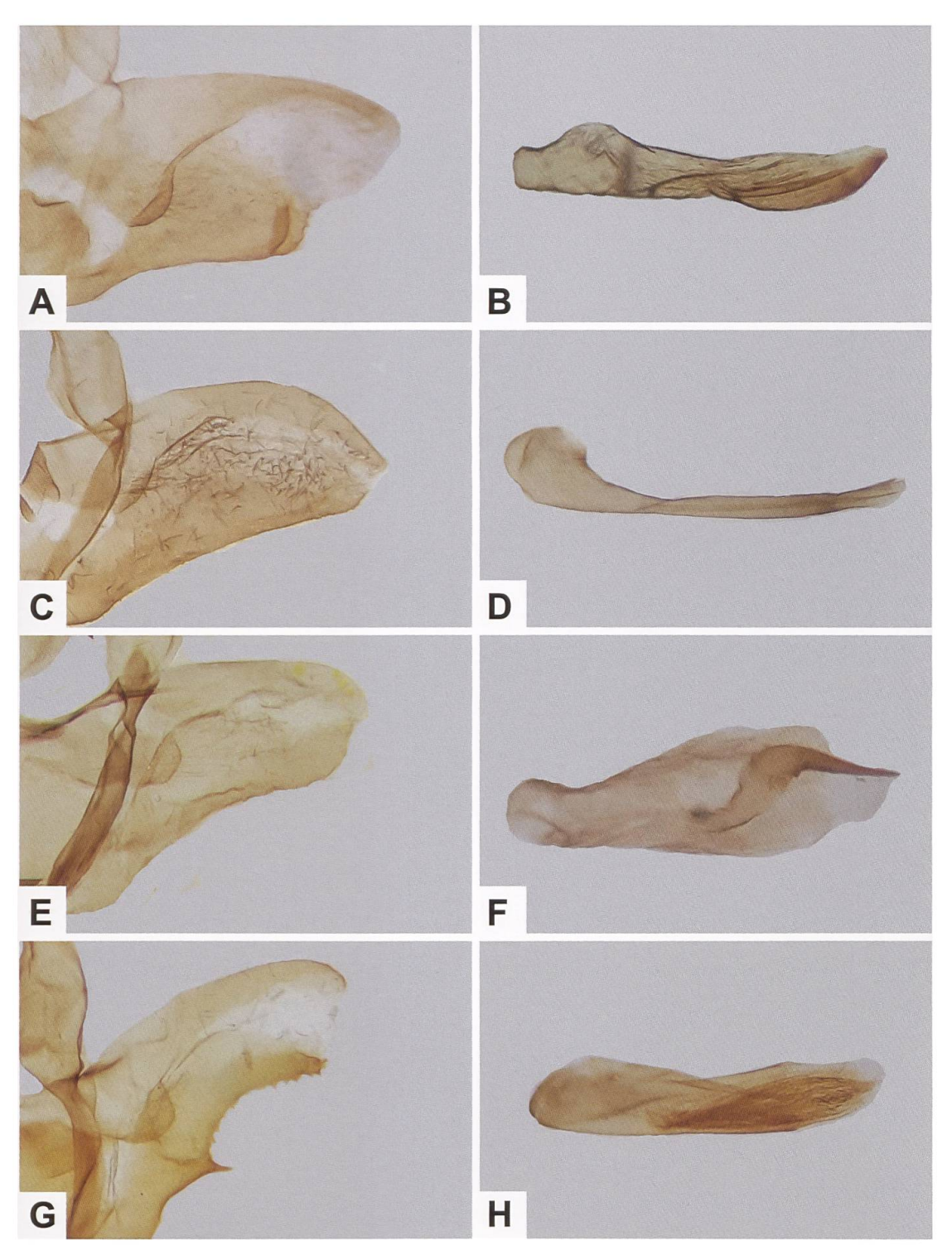


Abb. 60. Rechte Valve des Uncus-Tegumenkomplexes und Phallus von *Jordanita budensis* (A, B), *J. notata* (C, D), *J. hispanica* (E, F) sowie *J. graeca* (G, H).

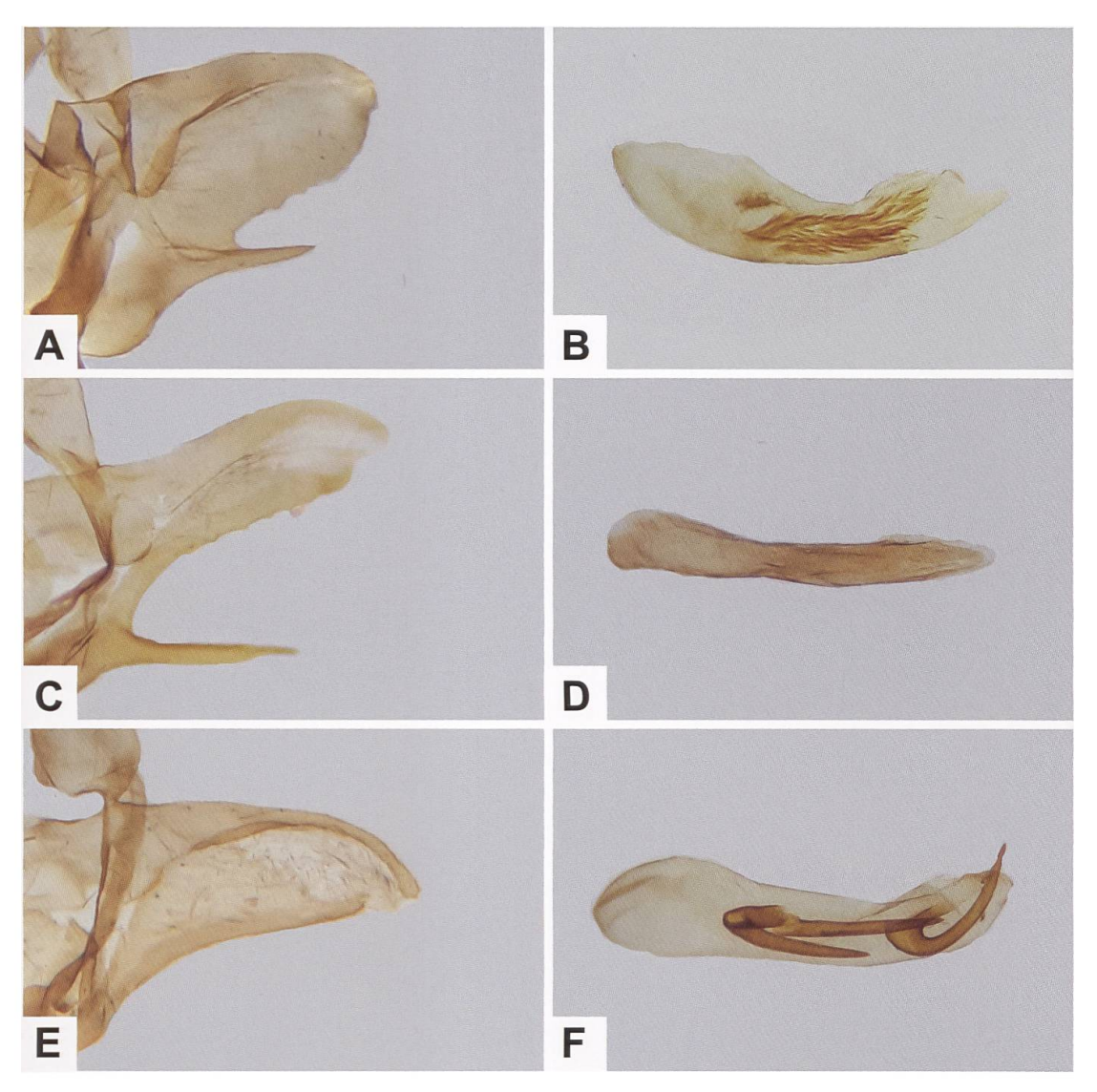


Abb. 61. Rechte Valve des Uncus-Tegumenkomplexes und Phallus von *Jordanita chloros* (A, B), *J. globulariae* (C, D) sowie *J. subsolana* (E, F).

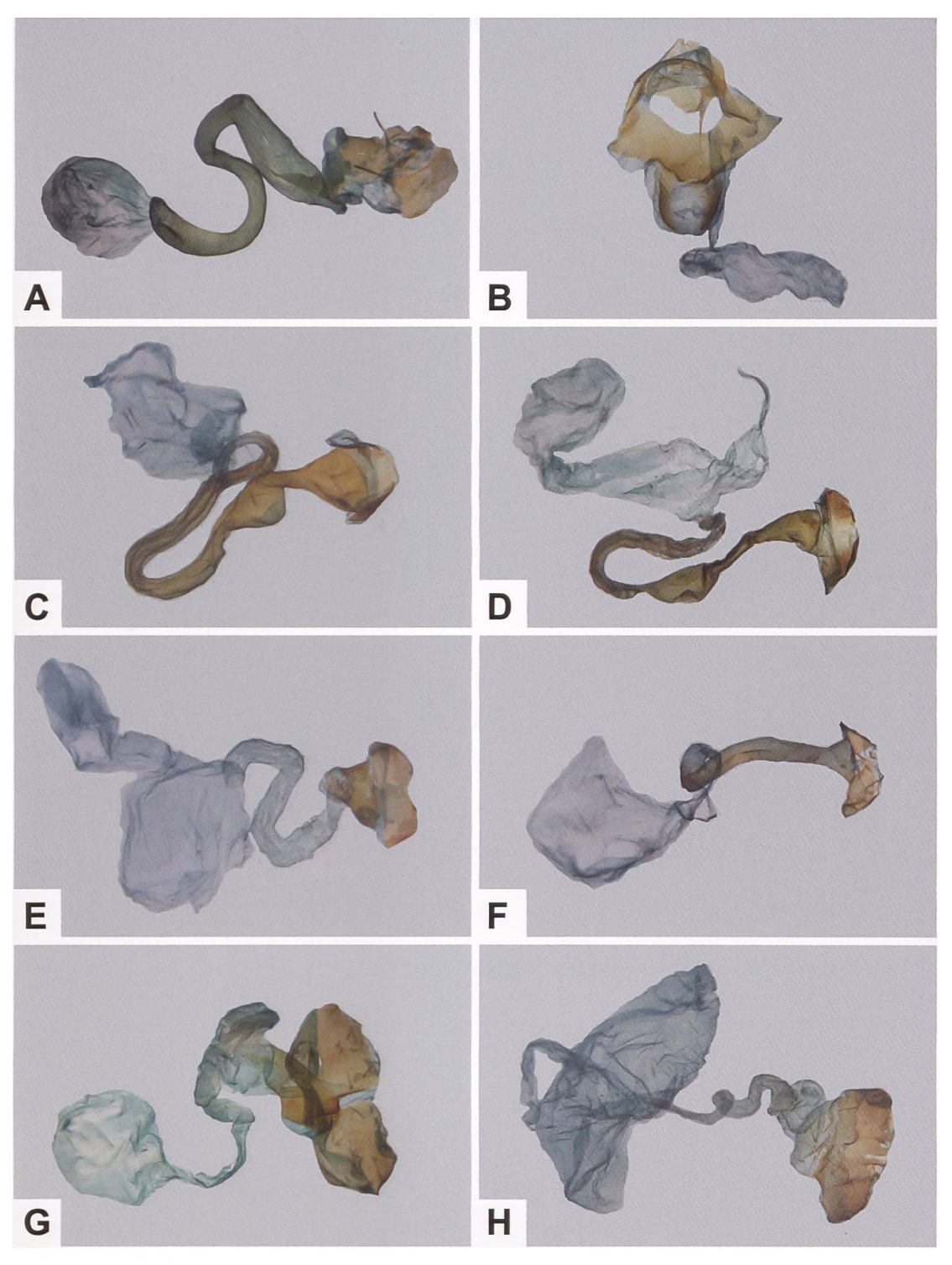


Abb. 62. Gesamtaspekt des weiblichen Genitalapparates von Theresimima ampellophaga (A), Rhagades pruni (B), Adscita alpina (C), A. italica (D), A. statices (E), A. geryon (F), A. dujardini (G) und A. mannii (H).

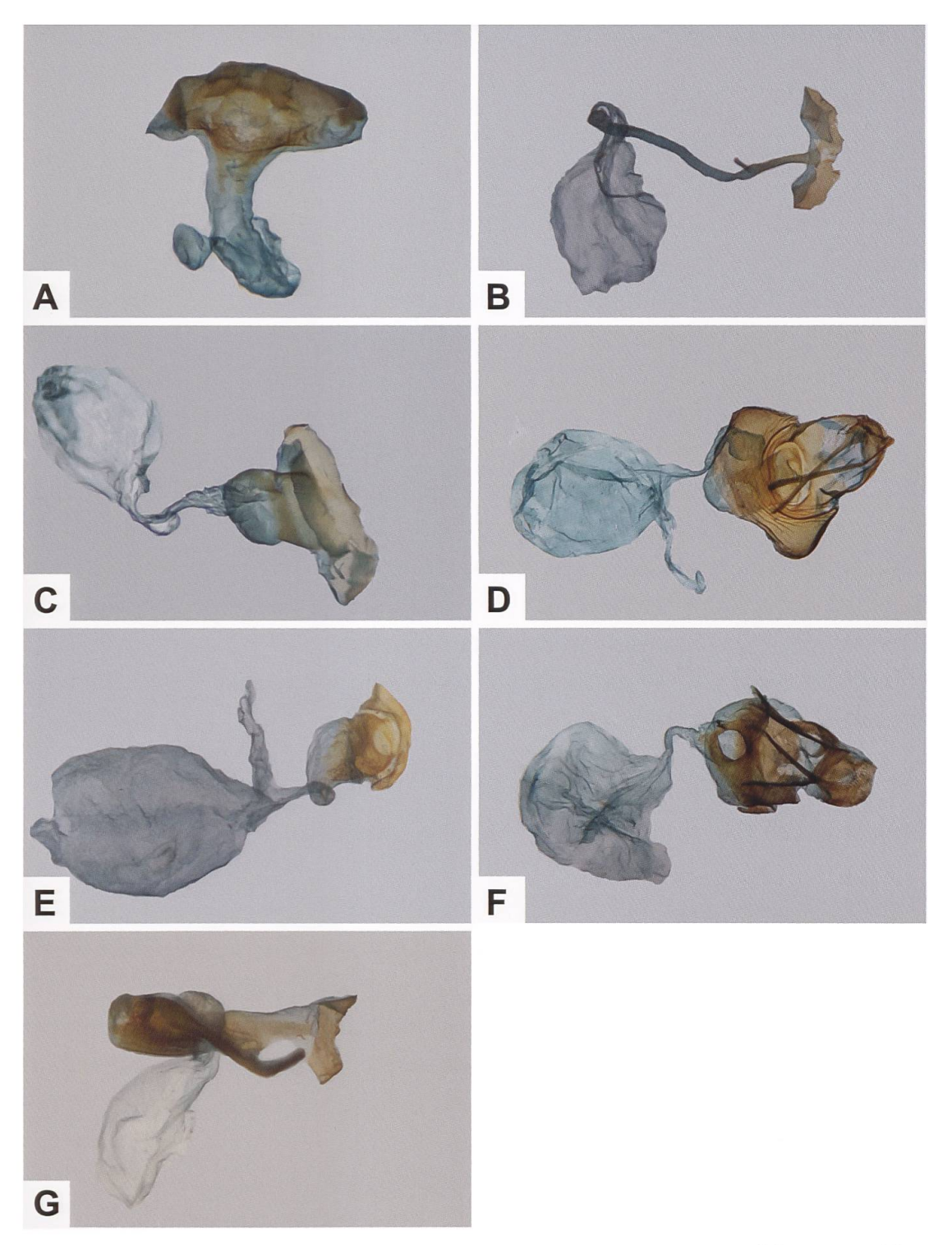


Abb. 63. Gesamtaspekt des weiblichen Genitalapparates von *Jordanita budensis* (A), *J. notata* (B), *J. hispanica* (C), *J. graeca* (D), *J. chloros* (E), *J. globulariae* (F) und *J. subsolana* (G).